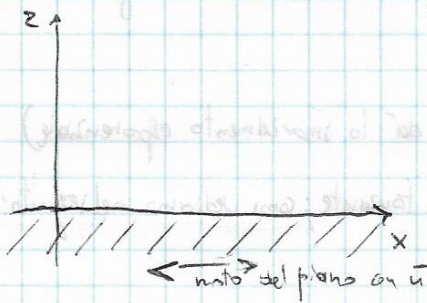


Moti oscillatori in fluidi viscosi

Fluido infinitamente profondo sul piano oscillante



Consideriamo un fluido viscoso incompressibile di profondità in z superiormente illimitata e inferiormente limitata in $z=0$ da un piano solido. Il fluido è infinitamente esteso in x e y .

La b.c. specifica, che suggerisce il tipo di soluzione, è data da un moto oscillatorio del piano lungo l'asse, descritto dalla velocità $\hat{u}(t) = u_0 e^{-i\omega t} \hat{e}_x$ (moto con frequenza $\omega/2\pi$ e massima velocità u_0). Il problema è invariante in x e y , la b.c. di velocità solo in x , e ci cerchiamo una soluzione di regime (ovvero dipendente sì dal tempo ma in modo periodico, superata una fase transitoria iniziale) che rispetti queste simmetrie:

$$\vec{v}(z,t) = v_x(z,t) \hat{e}_x \quad \text{con } v_y = v_z = 0 \quad ; \quad \text{essa rispetta già l'incompressibilità } \text{div} \vec{v} = 0$$

Poiché $(\vec{v} \cdot \text{grad}) \vec{v} = v_x \partial_x \vec{v} + v_x \partial_y \vec{v} + v_x \partial_z \vec{v} = 0$,

e non c'è grad lungo x imposto esternamente, la comp. x dell'eq. di Navier-Stokes si riduce a

$$\frac{\partial v_x}{\partial t} = \nu \nabla^2 v_x \quad \text{e poiché del laplaciano resta solo } \partial_{zz} \approx \frac{\partial v_x}{\partial t} = \nu \frac{\partial^2 v_x}{\partial z^2}$$

Più nello specifico, vista la b.c. oscillante supponiamo una soluzione oscillatoria del tipo

$$v_x(z,t) = v_0 \exp[i(kz - \omega t)] \quad \text{che si può inserire in N.-S.}$$

$$\frac{\partial v_x}{\partial t} = -i\omega v_0 \exp[i(kz - \omega t)] = \nu \frac{\partial^2 v_x}{\partial z^2} = -\nu k^2 v_0 \exp[i(kz - \omega t)]$$

ovvero $\underline{k^2 = i\omega/\nu}$ da cui, essendo $\sqrt{i} = \pm \frac{1}{\sqrt{2}}(1+i)$,

$$k = \pm \sqrt{\omega/2\nu} (1+i) \quad \text{relazione di dispersione con due } k \text{ possibili, tuttavia per il segno -}$$

$$ikz = z\sqrt{\omega/2\nu} (-i)(1+i) = z\sqrt{\omega/2\nu} (1-i) \quad \text{ovvero quando } \text{Im}(k) < 0 \text{ si ha } \text{Re}(ikz) > 0$$

cioè un'esponentiale che diverge per $z \rightarrow +\infty$. Ciò è in opposizione a una soluzione fisicamente sensata, in cui non solo ci appelliamo soluzione limitata, ma proprio che lontana dalla

perturbazione (piano oscillante) il moto si attenua. Dunque accettiamo solo κ / ω

$$\kappa = \sqrt{\omega/2\nu} (1+i) = (1+i)/\delta$$

dove si definisce $\delta = \sqrt{2\nu/\omega}$ profondità di penetrazione, in accordo col suo significato di scala di lunghezza su cui si attenua la perturbazione.

La presenza di una parte reale in κ (oltre alla $\text{Im}(\kappa)$ che dà lo smorzamento esponenziale) è segno di uno sfasamento dell'effetto di oscillazione rispetto alla forzante:

$$i(\kappa z - \omega t) = i \left[\frac{1}{\delta} (1+i) z - \omega t \right] = -\frac{z}{\delta} + i \left(\frac{z}{\delta} - \omega t \right)$$

$$\Rightarrow v_x(z, t) = v_0 e^{-z/\delta} \exp \left[i \left(\frac{z}{\delta} - \omega t \right) \right]$$

Con la b.c. di no-slip $\bar{v}(z=0, t) = v_0 e^{-i\omega t} \hat{e}_x = \bar{u}(t) = u_0 e^{-i\omega t} \hat{e}_x$ si ha

$v_0 = u_0 \Rightarrow$ la soluzione è

$$\bar{v}(z, t) = u_0 e^{-z/\delta} \exp \left[i \left(\frac{z}{\delta} - \omega t \right) \right] \hat{e}_x$$

sfasamento

onda trasversale (perpendicolare tra moto e direzione di propagazione dell'onda) con smorzamento lungo la direzione di propagazione e sfasamento sempre lungo tale direzione che è dipendente dalla distanza (in modo periodico).

Lo sforzo tangenziale (attrito) per unità di area è

$$\sigma_{zx} = \eta \frac{\partial v_x}{\partial z} \Big|_{z=0} = \left[-\eta \frac{1}{\delta} u_0 e^{-z/\delta} \exp[\dots] + i \eta \frac{1}{\delta} u_0 e^{-z/\delta} \exp[\dots] \right] \Big|_{z=0}$$

$$= \eta \frac{1}{\delta} (i-1) u_0 e^{-i\omega t} = \eta \sqrt{\omega/2\nu} = \sqrt{\frac{1}{2} \omega \eta} (i-1) u(t) \quad (i-1 = e^{i3\pi/4})$$

si noti lo sfasamento anche tra forzante e attrito

La media sul periodo della potenza specifica (energia per unità di tempo e area) dissipata è

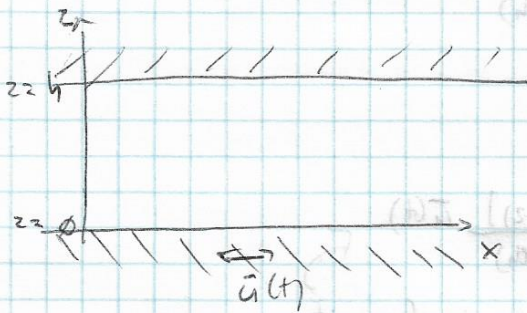
$$\langle \sigma_{zx} \Big|_{z=0} u(t) \rangle = \langle \text{Re} \left[\frac{1}{2} \omega \eta (i-1) u^2(t) \right] \rangle = -\frac{1}{2} u_0^2 \sqrt{\omega \eta / 2}$$

$\frac{1}{\text{Area}}$

vel. \Rightarrow $\frac{P}{\text{area}}$

media $\frac{1}{2} u_0^2$

Oscillazione in fluido limitato tra due piani $z = 0$ e $z = h$



In questo caso il fluido incomprimibile viscoso è indefinitamente esteso in x e y , ma limitato inferiormente da due piani solidi a $z=0$ e $z=h$.

Il piano superiore è fisso, quello inferiore ha velocità lungo x
 $\vec{u}(t) = u_0 e^{-i\omega t} \hat{e}_x$

Le invarianze del caso precedente valgono anche qui, perciò la soluzione ipotizzata resta del tipo

$$\vec{v}(z,t) = v_x(z,t) \hat{e}_x$$

e il problema di Navier-Stokes si riduce (in componente x) a

$$\begin{cases} \frac{\partial v_x}{\partial t} = \nu \frac{\partial^2 v_x}{\partial z^2} \\ \text{b.c. } v_x(z=0) = u(t) = u_0 e^{-i\omega t} \\ v_x(z=h) = 0 \end{cases}$$

La soluzione di prova, più specificamente si può scrivere come

$$v_x(z,t) = [A \sin(kz) + B \cos(kz)] e^{-i\omega t} *$$

che inserita in N.-S. dà

$$-i\omega (A \sin(kz) + B \cos(kz)) e^{-i\omega t} = -\nu k^2 (A \sin(kz) + B \cos(kz)) e^{-i\omega t}$$

ovvero la stessa relazione di dispersione

$$k^2 = i\omega/\nu, \quad \text{cioè, con } \delta = \sqrt{2\nu/\omega}, \quad k = (1+i)/\delta \quad (\text{si vede poi che la}$$

Usando le b.c. $v_x(0,t) = [A \sin(0) + B \cos(0)] e^{-i\omega t} = u_0 e^{-i\omega t}$ soluzione con $k = -(1+i)/\delta$ è uguale)

$$\Rightarrow \boxed{B = u_0}; \quad v_x(h,t) = [A \sin(kh) + u_0 \cos(kh)] e^{-i\omega t} = 0$$

$$\Rightarrow \boxed{A = -u_0 \cotg(kh)}$$

Rielaboriamo il fattore della dipendenza spaziale in $\vec{v}(z,t)$:

* = questa forma si può vedere come sovrapposizione di due onde (del tipo del caso semiinfinito visto prima) propaganti in verso opposto. Con un po' di algebra, sfruttando le relazioni tra funzioni sinusoidali ed esponenziali di argomento immaginario, si vede che la soluzione è la stessa (cfr. per es. T.E. Fabry "Fluid Dynamics for Physicists", CUP)

$$\cos(kz) - \cos(kh)\sin(kz) = \frac{\sin(kh)\cos(kz) - \cos(kh)\sin(kz)}{\sin(kh)} =$$

$$= \frac{\sin(kh - kz)}{\sin(kh)} = \frac{\sin[k(h-z)]}{\sin(kh)}$$

$$\Rightarrow \bar{v}(z,t) = \frac{\sin[k(h-z)]}{\sin(kh)} u_0 e^{-i\omega t} \hat{e}_x = \frac{\sin[k(h-z)]}{\sin(kh)} \bar{u}(t)$$

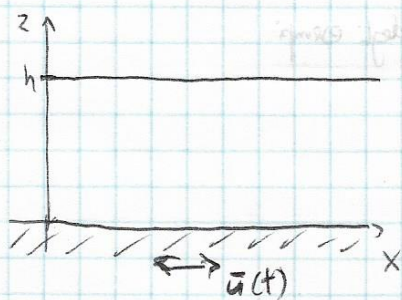
La forza d'attito per unita' di superficie sui due piani e':

$$\text{in } z=0 \quad f_x^{(0)} = \sigma_{zx}|_{z=0} = \eta \frac{\partial v_x}{\partial z} \Big|_{z=0} = -\eta k \frac{\cos(kh)}{\sin(kh)} u(t) = -\eta k \cot(kh) u(t)$$

$$\text{in } z=h \quad f_x^{(h)} = -\sigma_{zx}|_{z=h} = \eta \frac{\partial v_x}{\partial z} \Big|_{z=h} = -\eta k \frac{\cos[k(h-z)]}{\sin(kh)} \Big|_{z=h} u(t) = \eta k \frac{1}{\sin(kh)} u(t) = \eta k \operatorname{cosec}(kh) u(t)$$

dove va ricordato che k e' complesso e quindi include una parte di sfasamento.

Oscillazione di uno strato di fluido con pelo libero



In questo caso il fluido viscoso incompressibile poggia sul solito piano oscillante con velocità

$$\bar{u}(t) = u_0 e^{-i\omega t} \hat{e}_x \quad (\text{prima b.c.})$$

e ha una superficie libera in $z=h$, in cui dunque non

$$\text{cerchiamo: } \sigma_{zx}(z=h) = \eta \left. \frac{\partial v_x}{\partial z} \right|_{z=h} = \phi \quad (\text{seconda b.c.})$$

Avendo le stesse ipotesi di simmetria dei casi precedenti, cerchiamo una soluzione di regime del tipo

$$\bar{v}(z,t) = v_x(z,t) \hat{e}_x = [A \sin(kz) + B \cos(kz)] e^{-i\omega t} \hat{e}_x \quad \text{da inserire nell'eq. di Navier-Stokes (comp. x)}$$

$$\begin{cases} \frac{\partial v_x}{\partial t} = \nu \frac{\partial^2 v_x}{\partial z^2} \\ \text{b.c. } v_x(\phi,t) = u_0 e^{-i\omega t} \\ \sigma_{zx}(z=h) = \eta \left. \frac{\partial v_x}{\partial z} \right|_{z=h} = \phi \end{cases}$$

Immettendo in N.-S., la soluzione di prova dà la solita relazione di dispersione

$$k^2 = i\omega/\nu \Rightarrow k = (1+i)\sqrt{\omega/2\nu} \quad \text{con } \delta = \sqrt{2\nu/\omega}$$

la prima b.c. dà

$$v_x(\phi,t) = B e^{-i\omega t} = u_0 e^{-i\omega t} \Rightarrow \boxed{B = u_0}$$

$$\text{la seconda b.c. dà } \eta \left. \frac{\partial v_x}{\partial z} \right|_{z=h} = \eta k [A \cos(kh) - u_0 \sin(kh)] e^{-i\omega t} = \phi \Rightarrow \boxed{A = u_0 \tan(kh)}$$

e rielaborando la parte spaziale di v_x

$$\tan(kh) \sin(kz) + \cos(kz) = \frac{\sin(kh) \sin(kz) + \cos(kh) \cos(kz)}{\cos(kh)} = \frac{\cos(kh-kz)}{\cos(kh)} = \frac{\cos[k(h-z)]}{\cos(kh)}$$

$$\Rightarrow \bar{v}(z,t) = \frac{\cos[k(h-z)]}{\cos(kh)} u_0 e^{-i\omega t} \hat{e}_x = \frac{\cos[k(h-z)]}{\cos(kh)} \bar{u}(t)$$

L'attito sul piano è calcolato come forza per unità di superficie $f_x^{(s)} = \sigma_{zx} \Big|_{z=0} = \eta \left. \frac{\partial v_x}{\partial z} \right|_{z=0} = -\eta k \tan(kh) u(t)$;

da notare lo sfasamento implicito in $k \in \phi$ e la velocità non nulla sulla superficie libera $\bar{u}(t)/\cos(kh)$.

Corpo generico oscillante in un fluido viscoso

Per un corpo di forma generica, non avendo più le simmetrie degli esempi esposti in precedenza non si può più automaticamente avere $(\vec{v} \cdot \text{grad})\vec{v} = \phi$; possiamo fare delle considerazioni di qualche importanza supponendo di porci in casi in cui il termine convettivo possa essere comunque trascurato, così che l'eq. di Navier-Stokes diventi

$$\frac{\partial \vec{v}}{\partial t} = -\frac{1}{\rho} \text{grad} p + \nu \nabla^2 \vec{v} \quad \text{e applicandovi il rotore}$$

$$\frac{\partial (\text{rot} \vec{v})}{\partial t} = \nu \nabla^2 (\text{rot} \vec{v})$$

Dagli esempi già visti, sappiamo che l'eq. $\frac{\partial \vec{f}}{\partial t} = \nu \nabla^2 \vec{f}$ ha soluzione con decrescita esponenziale di \vec{f} con la distanza, \Rightarrow

$$\vec{f} = \text{rot} \vec{v} \sim e^{-r/\delta}$$

e ciò significa che il moto è rotazionale intorno al corpo, dipendente, su scale spaziali dell'ordine di δ , diventa potenziale; come sappiamo,

$$\text{per } \text{rot} \vec{v} = \phi \Rightarrow \exists \phi / \text{grad} \phi = \vec{v},$$

$$\text{e per flusso incomprimibile } \text{div}(\vec{v}) = \text{div}(\text{grad} \phi) = \nabla^2 \phi = 0$$

Si possono dunque valutare due casi limite di questa situazione, dipendentemente dal confronto tra δ , profondità di penetrazione, e l , dimensione caratteristica del corpo.

① $\delta \gg l$

Se possiamo anche metterci in condizioni di $Re \ll 1$, detta a l'ampiezza di oscillazione,

$$v_{\text{corpo}} \sim a\omega, \text{ abbiamo } Re = \frac{a\omega l}{\nu} \ll 1$$

che corrisponde a un caso di oscillazioni lente (bassa ω), cioè lente variazioni temporali di velocità; dunque il termine $\partial \vec{v} / \partial t$ è ignorabile nell'eq. di Navier-Stokes, mentre il termine convettivo $(\vec{v} \cdot \text{grad})\vec{v}$ è ignorabile perché Re piccolo. La sparizione del termine $\partial \vec{v} / \partial t$ indica un flusso praticamente stazionario, si torna a quello che è il problema di Stokes in cui il fluido a un $t + \Delta t$ è quello che si ottiene risolvendo l'eq. di Stokes (stazionario) per il corpo in movimento con la sua velocità istantanea, e ciò si può fare istante per istante.

② $\delta \ll l$

Per poter ignorare il termine convettivo, è necessario richiedere che l'ampiezza di oscillazione a sia piccola rispetto alle dimensioni caratteristiche del corpo: $\delta \ll l$ (la velocità uccide cioè su scale grandi rispetto all'oscillazione); stimando gli ordini di grandezza,

- vicino al corpo $\bar{u} \sim \bar{u}_{t\text{giale}}$, che varia significativamente su distanze $\sim l$;

$$\Rightarrow (\bar{u} \cdot \text{grad}) \bar{u} \sim \frac{u^2}{l} \sim \frac{a^2 \omega^2}{l}$$

\uparrow
 $u \sim a\omega$

$$-\frac{\partial \bar{u}}{\partial t} \sim \omega u \sim a\omega^2$$

\Rightarrow nel confronto per trascurare il termine convettivo

$$\frac{\partial \bar{u}}{\partial t} \gg (\bar{u} \cdot \text{grad}) \bar{u} \rightarrow a\omega^2 \gg \frac{a^2 \omega^2}{l} \text{ cioè appunto } \delta \ll l$$

mentre non viene fatta richiesta sulla grandezza del numero di Reynolds.

Il rotore di \bar{u} si annulla oltre uno strato sottile $\sim \delta$ intorno al corpo, oltre il quale si ha flusso potenziale di fluido perfetto (da $\text{rot } \bar{u} = 0 \rightarrow$ così riduce all'eq. di Eulero).

Resta il problema del tipo di condizione al contorno, perché la condizione di no-slip non può essere soddisfatta da fluido ideale, per il quale si può solo imporre l'uguaglianza sulla superficie solida tra velocità normali di fluido e corpo. E del resto la soluzione per il fluido perfetto potenziale incompressibile (da $\text{rot } \bar{u} = 0$, $\text{div } \bar{u} = 0$) non sarebbe adatta per lo strato limite superficiale: non rispondendo ad alcuna imposizione per la $u_{t\text{giale}}$ sulla superficie, questa risulterebbe con valori discrepanti rispetto alla $u_{t\text{giale}}$ del corpo, ovvero in altre parole, $u_{t\text{giale}}$ ha una brusca variazione nello strato limite che connette il flusso potenziale al corpo immerso.

Per una descrizione del comportamento in questo caso, in termini generali, si può immaginare di studiare il problema localmente, in una regione adiacente a una porzione della superficie del corpo di dimensione tipica sufficientemente $\gg \delta$ ma comunque $\ll l$, così da essere approssimata circa come piana; si può dunque usare localmente la soluzione per il flusso con piano oscillante: inteso x asse $t\text{giale}$ al piano, z asse normale, v_x sono la vel. fluida $t\text{giale}$ al piano (che va a zero sul piano); detta $v_0 e^{-i\omega t}$ la velocità trovata come soluzione del

flusso perfetto potenziale, la v_x avrà uno smorzamento dalla regione potenziale verso il

corpo del tipo

$$v_x = v_0 e^{-i\omega t} \left(1 - e^{-(1-i)z/\delta} \right)$$

e la dissipazione di energia avrà forma

$$\langle \dot{E}_H \rangle = -\frac{1}{2} \sqrt{\frac{1}{2} \omega \eta \rho} \oint_{\Sigma_0} |v_x|^2 dt \quad \text{con } \Sigma_0 \text{ superficie del corpo}$$

(potenza per unità di area del piano $= \frac{1}{2} \left(\frac{1}{2} \omega \eta \rho \right)^{\frac{1}{2}} u_0^2$ integrata su tutta Σ_0)

Una nota generale conclusiva: può fare a complemento di quanto rilevato nel calcolo dell'attivo per gli esempi visti, in cui si era appunto notato che avendo quantità complesse se ne doveva interpretare la parte reale come dissipazione.

Più nello specifico, se scriviamo la forza di resistenza come proporzionale a $u = u_0 e^{-i\omega t}$

(complessa), ovvero

$$F = \beta u$$

per β esso stesso e β diciamo che $\beta = \beta_1 + i\beta_2$ con $\beta_1, \beta_2 \in \mathbb{R}$

$$\begin{aligned} \Rightarrow F = \beta u &= \beta_1 u + i\beta_2 u = \text{scrutando il fatto che } \dot{u}(t) = -i\omega u(t) \\ &= \beta_1 u - \beta_2 \dot{u}/\omega \end{aligned}$$

e abbiamo un'espressione a coefficienti reali in cui si vede F come somma di due termini proporzionali uno alla velocità e l'altro all'accelerazione.

Calcoliamo la dissipazione di energia mediata sul periodo, che è il prodotto di velocità

per la forza di drag, per sole parti reali, mediato temporalmente:

$$\text{Re}(u) = \frac{1}{2} (u + u^*) = \frac{1}{2} (u_0 e^{-i\omega t} + u_0^* e^{i\omega t})$$

$$\text{Re}(F) = \frac{1}{2} (F + F^*) = \frac{1}{2} (u_0 \beta e^{i\omega t} + u_0^* \beta^* e^{-i\omega t})$$

$$\Rightarrow \langle \dot{E}_H \rangle = \langle F u \rangle = \left\langle \frac{1}{4} \left[\underbrace{u_0^2 \beta e^{-2i\omega t}}_{\text{termini oscillanti} \Rightarrow \text{a media nulla}} + u_0 u_0^* \beta + u_0 u_0^* \beta + \underbrace{u_0^{*2} \beta e^{2i\omega t}}_{\text{termini oscillanti} \Rightarrow \text{a media nulla}} \right] \right\rangle =$$

$$= \frac{1}{4} |u_0|^2 (\beta + \beta^*) = \frac{1}{2} |u_0|^2 \beta_1$$

che evidenzia l'apporto del solo β_1 , ovvero che la dissipazione viene dalla parte reale di β coeffi-

ciente di drag, γ \Rightarrow davvero proporzionale alla velocità, mentre non contribuisce
 dalla parte proporzionale all'accelerazione; quest'ultima è detta parte inerziale del drag,
 è equivalente a un "aumentare la massa" del piano o corpo in moto e implica lo sfasamento
 nel moto periodico, supponendo di spegnere la perturbazione, la parte dissipativa
 del drag smorza l'oscillazione, la parte inerziale tende a rallentare l'oscillazione; il damping
 di un moto oscillatorio in fluido visoso è stato utilizzato per realizzare viscosimetri alter-
 nativi a quello già visto di Couette, e basati sulla misura dello smorzamento per ricavare la
 viscosità del fluido: ne è esempio il viscosimetro a disco oscillante di Maxwell.

$$\begin{aligned}
 & \ddot{x} + \gamma \dot{x} + \omega_0^2 x = F_0 \cos(\omega t) \\
 & \text{Soluzione particolare: } x_p = A \cos(\omega t - \phi) \\
 & \text{Coefficiente di smorzamento: } \gamma = \frac{4\pi \eta R^3}{\rho V} \\
 & \text{Frequenza di risonanza: } \omega_r = \sqrt{\omega_0^2 - \frac{\gamma^2}{2}} \\
 & \text{Fattore di merito: } Q = \frac{\omega_r}{\gamma}
 \end{aligned}$$

che evidenzia l'effetto di smorzamento e la dipendenza della risposta in ampiezza e fase dal rapporto tra la frequenza di risonanza e quella applicata.